

Одноклеточные четырёхрёберные торические рисунки

Г. Б. ШАБАТ
Российский государственный
гуманитарный университет
e-mail: george.shabat@gmail.com

УДК 512.75+519.17

Ключевые слова: детские рисунки, функции Белого, эллиптические кривые.

Аннотация

Вычислены пары Белого, соответствующие всем одиннадцати одноклеточным четырёхрёберным торическим детским рисункам.

Abstract

G. B. Shabat, Unicellular four-edged toric dessins, Fundamentalnaya i prikladnaya matematika, vol. 18 (2013), no. 6, pp. 209–222.

The Belyi pairs corresponding to all the eleven unicellular four-edged toric dessins d'enfants are calculated.

Введение

Цель данного текста — перечислить пары Белого, соответствующие всем одиннадцати одноклеточным четырёхрёберным торическим рисункам, и описать методы их вычисления. Эти методы, по мнению автора, представляют значительный самостоятельный интерес.

Выражения для кривых и функций Белого приводятся в той форме, в которой были получены; в некоторых случаях они весьма громоздки. Вопрос о возможностях более компактных записей, обсуждение методов изображения истинных форм рисунков, анализ паразитических решений и их кратностей, простых плохой редукции и т. п. откладываются до последующих публикаций.

Окончательными результатами данного текста являются j -инварианты полученных кривых (см. таблицу в конце текста). Они заслуживают тщательного анализа и выявления бросающихся в глаза закономерностей.

Все торические рисунки изображаются в данном тексте графами либо внутри квадрата, либо внутри шестиугольника; в обоих случаях подразумеваются отождествления противоположных сторон.

Наименования рисунков имеют вид $a_1 a_2 a_3 \mid 8$ или $a_1 a_2 a_3 \mid 8n$; они определяются наборами 0-валентностей a_1, a_2, a_3 , а число 8 указывает общую для всех

Фундаментальная и прикладная математика, 2013, том 18, № 6, с. 209–222.

© 2013 Центр новых информационных технологий МГУ,
Издательский дом «Открытые системы»

2-валентность. Если наборы валентностей имеют несколько реализаций, их наименования имеют вид $a_1 a_2 a_3 \mid 8n$ или $a_1 a_2 a_3 \mid 8n^\pm$; первый вид наименований применяется для вещественных, т. е. изоморфных своим зеркальным отражениям, рисунков; наименования $a_1 a_2 a_3 \mid 8n^+$ и $a_1 a_2 a_3 \mid 8n^-$ применяются для пар зеркально симметричных рисунков. Буквы n , как и знаки $+$ и $-$, выбираются произвольно.

Соглашения и обозначения традиционны; мы, как правило, воздерживаемся от обозначения носителя рисунка, но задаём его аффинную модель уравнением $y^2 = f(x)$, где кубический многочлен $f \in \mathbb{C}[x]$ не имеет кратных корней.

Функция Белого обозначается β . Столица C располагается в бесконечности, поэтому β регулярна на аффинной части кривой и имеет вид

$$\beta = U + Vy,$$

где $U \in \mathbb{C}[x]$, $V \in \mathbb{C}[x]$, $\deg U = 4$, $\deg V = 2$.

Вершины обозначаются $A_{1,2,3}$ и нумеруются по убыванию валентностей, «середины рёбер» обозначаются $B_{1,2,3,4}$.

Дивизориальные соотношения имеют вид

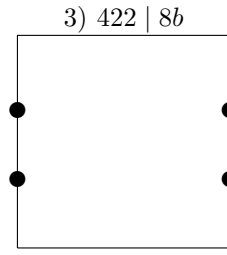
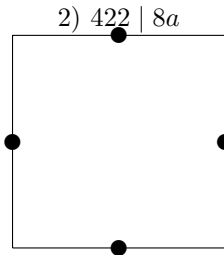
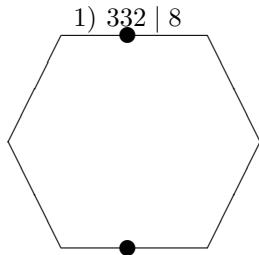
$$\operatorname{div}(\beta) = a_1 A_1 + a_2 A_2 + a_3 A_3 - 8C, \quad \operatorname{div}(\beta - 1) = 2(B_1 + B_2 + B_3 + B_4) - 8C,$$

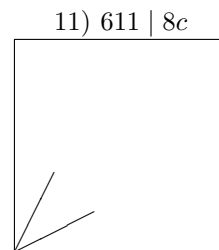
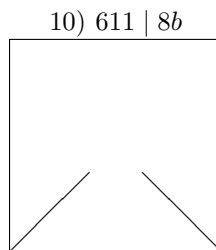
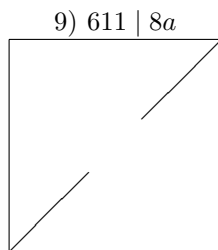
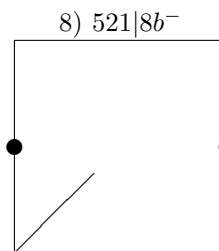
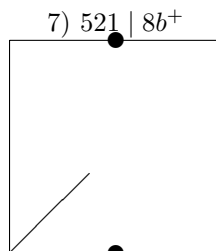
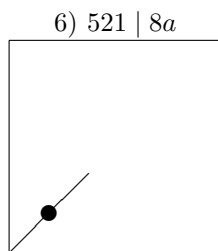
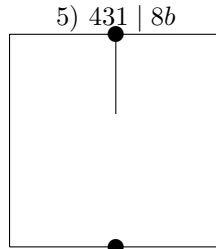
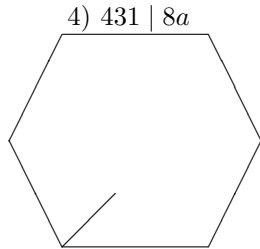
где для наборов валентностей имеется пять возможностей:

$$a_1 a_2 a_3 \in \{332, 422, 451, 521, 611\}.$$

Автор признателен участникам своего семинара, особенно В. Дрёмову, за полезные советы, проявленный интерес и независимые вычисления, результаты которых совпали с результатами автора.

1. Список рисунков





2. Теоретические результаты

Предложение 2.1. Торический рисунок обладает центральной симметрией тогда и только тогда, когда он может быть реализован парой Белого с чётной функцией Белого, иначе говоря, тогда и только тогда, когда соответствующая кривая может быть представлена уравнением

$$y^2 = f(x),$$

где f — многочлен степени 3 или 4, таким образом, что функция Белого зависит только от x .

Доказательство. Утверждение следует из функториальных соображений и общеизвестных фактов об эллиптических кривых. \square

Предложение 2.2 (лемма Дрёмова). Пусть β — чистая функция Белого, соответствующая некоторому рисунку. Функция $1 - \beta$ является квадратом тогда и только тогда, когда граф рисунка допускает двудольную структуру.

Доказательство. Сначала установим частный случай половины леммы: $1 - \beta$ не является квадратом, если граф рисунка содержит петлю.

Параметризуем петлю вещественно-аналитическим отрезком, вложение которого в риманову поверхность отождествляет лишь концы (в вершине петли). Функция $1 - \beta$ превращается в вещественно-аналитическую вещественнозначную функцию на отрезке, обращающуюся в 1 на его концах и имеющую единственный двукратный нуль во внутренней точке. Если бы функция $1 - \beta$ была квадратом мероморфной функции на всей поверхности, то на нашем отрезке она превратилась бы в квадрат функции с однократным нулём во внутренней точке. Но тогда эта (новая) функция в концах отрезка обязана была бы принимать значения противоположных знаков, а это противоречит тому, что отрезок отображается в петлю.

Использовать будет другая половина. Она в некотором смысле очевидна: аналитическое продолжение ростка функции $\sqrt{1 - \beta}$, рассмотренного в малой окрестности любой вершины, корректно определено: выбор любого из значений ± 1 в этой вершине определяет продолжение вдоль всех рёбер. Будет принимать то же значение в вершинах того же цвета и противоположное — в вершинах другого цвета. Возможность мероморфного продолжения внутрь клеток следует из определения детского рисунка. \square

3. Вычисления

для центрально-симметричных рисунков

3.1. Рисунок 332 | 8

Дивизориальные соотношения принимают вид

$$\operatorname{div}(\beta) = 3A_1 + 3A_2 + 2A_3 - 8C, \quad \operatorname{div}(\beta - 1) = 2(B_1 + B_2 + B_3 + B_4) - 8C.$$

Из рисунка видно, что нетривиальные точки второго порядка — это одна вершина (валентности 2) и две «середины рёбер». Кроме того, $x(A_1) = x(A_2)$.

Можно считать, что

$$f = [x - x(A_3)][x - x(B_1)][x - x(B_2)].$$

Тогда (с учётом того, что $\beta = U$ и $x(B_3) = x(B_4)$) имеем

$$U = k[x - x(A_1)]^3[x - x(A_3)], \quad U - 1 = k[x - x(B_3)]^2[x - x(B_1)][x - x(B_2)].$$

Пользуясь аффинным произволом в выборе x , выберем нормировку, в которой

$$x(A_1) = x(A_2) = 0, \quad x(B_3) = x(B_4) = 1.$$

Обозначив

$$[x - x(B_1)][x - x(B_2)] =: x^2 + px + q$$

и

$$x(A_3) =: r,$$

перепишем наши уравнения в виде

$$\begin{cases} f = (x - r)(x^2 + px + q), \\ U = kx^3(x - r), \\ U - 1 = k(x - 1)^2(x^2 + px + q). \end{cases}$$

Лёгкие вычисления в MAPLE дают (после замены y на $3y$) уравнение кривой

$$y^2 = (3x - 4)(3x^2 + 2x + 1)$$

с j -инвариантом

$$j_{332} = -\frac{219488}{729} = -\frac{2^5 19^3}{3^6} = -301,080932\dots$$

Искомая функция Белого имеет вид

$$\beta = -x^3(3x - 4),$$

что проверяется равенством

$$\beta - 1 = -(3x^2 + 2x + 1)(x - 1)^2.$$

3.2. Рисунок 422 | 8a

Дивизориальные соотношения принимают вид

$$\operatorname{div}(\beta) = 4A_1 + 2A_2 + 2A_3 - 8C, \quad \operatorname{div}(\beta - 1) = 2(B_1 + B_2 + B_3 + B_4) - 8C.$$

По рисунку сразу видно, что все точки второго порядка — вершины. Поэтому

$$f = [x - x(A_1)][x - x(A_2)][x - x(A_3)],$$

и с учётом того, что $\beta = U$, $x(B_1) = x(B_2)$ и $x(B_3) = x(B_4)$, имеем

$$U = k[x - x(A_1)]^2[x - x(A_2)][x - x(A_3)], \quad U - 1 = k[x - x(B_1)]^2[x - x(B_3)]^2.$$

Пользуясь аффинным произволом в выборе x , выберем нормировку, в которой

$$x(A_1) = 0, \quad x(A_2) = 1.$$

Обозначив

$$[x - x(B_1)][x - x(B_2)] =: x^2 + px + q$$

и

$$x(A_3) =: t,$$

перепишем наши уравнения в виде

$$\begin{cases} f = x(x-1)(x-t), \\ U = kx^2(x-1)(x-t), \\ U-1 = k(x^2+px+q)^2. \end{cases}$$

Лёгкие вычисления в MAPLE дают уравнение кривой

$$y^2 = x(x-1)(x+1),$$

которая оказывается знаменитой кривой с j -инвариантом

$$j_{422a} = 1728 = 2^6 3^3.$$

Искомая функция Белого имеет вид

$$\beta = -4x^2(x-1)(x+1),$$

что проверяется равенством

$$\beta - 1 = -(2x^2 - 1)^2.$$

Если учесть симметрии и комплексное умножение, тот же ответ можно было бы получить красивее; его, однако, было бы дольше объяснять...

3.3. Рисунок 422 | 8b

Дивизориальные соотношения принимают вид

$$\operatorname{div}(\beta) = 4A_1 + 2A_2 + 2A_3 - 8C, \quad \operatorname{div}(\beta - 1) = 2(B_1 + B_2 + B_3 + B_4) - 8C.$$

По рисунку сразу видно, что все точки второго порядка — это одна вершина и две «середины рёбер». Кроме того, $x(A_2) = x(A_3)$.

Можно считать, что

$$f = [x - x(A_1)][x - x(B_1)][x - x(B_2)],$$

и с учётом того, что $\beta = U$ и $x(B_3) = x(B_4)$, имеем

$$U = k[x - x(A_1)]^2[x - x(A_2)]^2, \quad U - 1 = k[x - x(B_3)]^2[x - x(B_1)][x - x(B_2)].$$

Пользуясь аффинным произволом в выборе x , выберем нормировку, в которой

$$x(A_1) = 0, \quad x(B_3) = x(B_4) = 1.$$

Обозначив

$$[x - x(B_1)][x - x(B_2)] =: x^2 + px + q$$

и

$$x(A_3) =: r,$$

перепишем наши уравнения в виде

$$\begin{cases} f = x(x^2 + px + q), \\ U = kx^2(x - r)^2, \\ U - 1 = k(x - 1)^2(x^2 + px + q). \end{cases}$$

Лёгкие вычисления в MAPLE дают уравнение кривой

$$y^2 = x(x^2 - 2x - 1)$$

с j -инвариантом

$$j_{422b} = 10976 = 2^5 7^3.$$

Искомая функция Белого имеет вид

$$\beta = x^2(x - 2)^2,$$

что проверяется равенством

$$\beta - 1 = (x - 1)^2(x^2 - 2x - 1).$$

3.4. Рисунок 611 | 8a

Дивизориальные соотношения принимают вид

$$\operatorname{div}(\beta) = 6A_1 + A_2 + A_3 - 8C, \quad \operatorname{div}(\beta - 1) = 2(B_1 + B_2 + B_3 + B_4) - 8C.$$

По рисунку видны точки второго порядка: вершина валентности 6, т. е. A_1 , и две «середины рёбер». Кроме того, $x(A_2) = x(A_3)$, $x(B_1) = x(B_3)$ и $x(B_2) = x(B_4)$.

Имеем

$$f = [x - x(A_1)]f_1$$

и

$$U = k[x - x(A_1)]^3[x - x(A_2)], \quad U - 1 = k[x - x(B_1)]^2f_1.$$

Пользуясь аффинным произволом в выборе x , выберем нормировку, в которой

$$x(A_1) = 0, \quad x(A_2) = 1.$$

Обозначив

$$f_1 =: x^2 + px + q,$$

перепишем наши уравнения в виде

$$\begin{cases} f = x(x^2 + px + q), \\ U = kx^3(x - 1), \\ U - 1 = k(x - r)^2(x^2 + px + q). \end{cases}$$

Лёгкие вычисления в MAPLE дают уравнение кривой

$$y^2 = x \left(x^2 + \frac{1}{2}x + \frac{3}{16} \right)$$

с j -инвариантом

$$j_{611a} = \frac{4000}{9} = \frac{2^5 5^3}{3^2} = 444,444444 \dots$$

Искомая функция Белого имеет вид

$$\beta = -\frac{256}{27}x^3(x-1),$$

что проверяется равенством

$$\beta - 1 = (4x - 3)^2 \left(x^2 + \frac{1}{2}x + \frac{3}{16} \right).$$

4. Вычисления для двудольных рисунков

Остался единственный двудольный не центрально-симметричный рисунок, вычисления для которого будут сейчас приведены. Повторные вычисления для центрально-симметричных двудольных рисунков описанным ниже методом также осмысленны, но откладываются до дальнейших публикаций.

4.1. Рисунок 431 | 8a

Дивизориальные соотношения принимают вид

$$\operatorname{div}(\beta) = 4A_1 + 3A_2 + A_3 - 8C, \quad \operatorname{div}(\beta - 1) = 2(B_1 + B_2 + B_3 + B_4) - 8C.$$

Согласно лемме Дрёмова можно ввести функцию α , определённую соотношением

$$1 - \beta = \alpha^2.$$

С учётом двудольной структуры получаем уравнение кривой

$$y^2 = ax^3 + bx^2 + cx + 1$$

с соотношениями

$$\operatorname{div}(\beta) = 4A_1 + 3A_2 + A_3 - 8C,$$

$$x(C) = \infty,$$

$$x(A_1) = 0,$$

$$y(A_1) = 1,$$

$$\beta = 1 - \alpha^2,$$

$$\operatorname{div}(1 - \alpha) = 4A_1 - 4C,$$

$$\operatorname{div}(1 + \alpha) = 3A_2 + A_3 - 4C,$$

$$\alpha = p_0 + p_1x + p_2x^2 + qy.$$

Вычисления в MAPLE дают уравнение кривой

$$y^2 = \frac{1}{32}(x+2)(9x^2 + 16 + 8x)$$

с j -инвариантом

$$j_{431a} = \frac{207\,646}{6\,561} = \frac{2 \cdot 47^3}{3^8} = 31,648529 \dots$$

Искомая функция Белого имеет вид

$$\beta = -\frac{9}{64}x^4 - x^3 - \frac{77}{36}x^2 - \frac{20}{9}x + \left(x^2 + \frac{16}{9}x + \frac{8}{9}\right)y - \frac{8}{9}.$$

5. Вычисления для общих рисунков

5.1. Домножение $1 - \beta$ до квадрата

Согласно лемме Дрёмова у всех оставшихся рисунков функция $1 - \beta$ не является квадратом. Однако дивизор

$$\operatorname{div}(1 - \beta) = 2(B_1 + B_2 + B_3 + B_4) - 8C \quad (1)$$

является главным, и его «половинка» $B_1 + B_2 + B_3 + B_4 - 4C$ имеет порядок 2, т. е. на кривой найдётся такая точка второго порядка D , что

$$B_1 + B_2 + B_3 + B_4 - 4C \equiv D - C$$

(мы, как обычно, приняли C за нейтральный элемент на эллиптической кривой). По лемме Дрёмова точка D — одна из трёх *нетривиальных* точек второго порядка на кривой.

Прибавляя $D - C$ к обеим частям последнего равенства, находим такую функцию ψ , что

$$B_1 + B_2 + B_3 + B_4 - 4C + (D - C) = \operatorname{div}(\psi). \quad (2)$$

Нами выделена одна из точек второго порядка, поэтому запишем уравнение кривой в виде

$$y^2 = f =: (x - 1)(ax^2 + bx - 1)$$

и будем считать, что

$$x(D) = 1, \quad y(D) = 0.$$

Тогда

$$\operatorname{div}(x - 1) = 2(D - C). \quad (3)$$

Удваивая (2) и используя (1) и (3), получаем (умножив ψ на подходящую ненулевую константу)

$$(x - 1)(\beta - 1) = \psi^2. \quad (4)$$

5.2. Важное упрощение

Поскольку $\psi \in L(4C)$, существуют такие $P, Q \in \mathbb{C}[x]$, удовлетворяющие условиям $\deg P \leq 2$, $\deg Q \leq 1$, что

$$\psi = P + Qy. \quad (5)$$

Согласно (4)

$$(x-1)(\beta-1) = (P+Qy)^2.$$

Раскрывая скобки и пользуясь тем, что $\beta = U + Vy$, получаем, что

$$\begin{cases} (x-1)(U-1) = P^2 + Q^2f, \\ (x-1)V = 2PQ. \end{cases}$$

Поскольку многочлен f делится на $x-1$, из первого уравнения системы видно, что P также делится на $x-1$. Это даёт нам основания ввести обозначение

$$P =: (x-1)P_1, \quad (6)$$

где $P_1 \in \mathbb{C}[x]$, $\deg P_1 \leq 1$.

После сокращений на $x-1$ последняя система принимает вид

$$\begin{cases} U-1 = (x-1)P_1^2 + Q^2(ax^2 + bx - 1), \\ V = 2P_1Q. \end{cases}$$

5.3. Общая параметризация

У всех оставшихся рисунков наибольшая 0-валентность (по нашим соглашениям соответствующая вершина обозначается A_1) не менее 4. Точнее,

$$\operatorname{div}(\beta) = a_1A_1 + a_2A_2 + a_3A_3 - 8C, \quad (a_1a_2a_3) \in \{(611), (521), (431)\}.$$

Условие $\beta \in L(8C - 4A_1)$ позволяет исключить коэффициенты многочленов первой степени P_1 и Q . Получаем, что

$$P_1 = \frac{1}{2} \frac{p_1x + p_0}{S}, \quad Q = \frac{1}{2} \frac{q_1x + q_0}{S}, \quad (7)$$

где

$$p_1 = 4a + 16a^2 - 8ab + 3b^2 - 2b^3 - b^4, \quad (8)$$

$$p_0 = -8a + 32a^2 + 32ab - 6b^2 + 8b^3 - 2b^4, \quad (9)$$

$$q_1 = 8a + b - 12ab + 2b^2 - 3b^3, \quad (10)$$

$$q_0 = 2 + 24a - 8b + 6b^2, \quad (11)$$

$$S = -1 - 16a + 4b + 16a^2 + 16ab - 6b^2 + 4b^3 - b^4. \quad (12)$$

Иначе говоря, все оставшиеся кривые задаются уравнениями

$$y^2 = (x-1)(ax^2 + bx - 1),$$

а функции Белого на них определяются при подходящих значениях параметров a, b соотношениями (4)–(6) и (7)–(12).

5.4. Рисунок 431 | $8b$

Во введённых параметрах рисунок находится прямым вычислением: кривая задаётся уравнением

$$y^2 = -(x-1) \left(\frac{448}{81}x^2 + \frac{208}{9}x + 1 \right)$$

с j -инвариантом

$$j_{431b} = \frac{10\,647\,696\,795\,116\,000}{1\,853\,320\,108\,689} = \frac{2^5 5^3 13\,859^3}{3^8 7^{10}} = 5\,745,201137\dots$$

Функция Белого на ней имеет вид

$$\beta = -\frac{4096}{250\,047}x^4 + \frac{137\,216}{1\,750\,329}x^3 + \frac{7\,414\,528}{12\,252\,303}x^2 + \frac{2\,086\,912}{9\,529\,569}x + \frac{10\,240}{1\,058\,841} - \left(\frac{8\,192}{194\,481}x^2 + \frac{152\,576}{1\,361\,367}x + \frac{10\,240}{1\,058\,841} \right) y.$$

Эта пара Белого соответствует параметрам

$$\left(a = -\frac{448}{81}, b = -\frac{208}{9} \right).$$

5.5. Дискриминантная кривая

Дискриминантная кривая состоит из таких пар (a, b) , что многочлен

$$\frac{U^2 - V^2 f}{x^4}$$

имеет кратный корень. Кривая содержит компоненту D_I рода 1, задаваемую уравнением

$$\begin{aligned} 0 = & 36\,864a^7 + (331\,776b^2 - 344\,064b + 94\,208)a^6 + \\ & + (-233\,984b^2 + 95\,232b + 158\,976b^4 - 2\,304 + 27\,648b^3)a^5 + \\ & + (-222\,976b^4 - 768b + 182\,016b^5 + 32\,256b^3 + 22\,272b^2)a^4 + \\ & + (20\,512b^4 + 72\,576b^7 - 21\,888b^5 - 9\,936b^8 - 60\,608b^6 + 1\,408b^3 - 64b^2)a^3 + \\ & + (1\,856b^5 - 1\,296b^{10} - 10\,560b^7 + 4\,560b^6 - 16b^4 - 5\,200b^8 + 10\,656b^9)a^2 + \\ & + (95b^8 + 540b^{11} + 424b^7 + 20b^6 - 9b^{12} - 1020b^9 - 50b^{10})a + \\ & + 30b^{11} - 15b^{12} + 15b^9 - 3b^8 + 3b^{13} - 30b^{10}. \end{aligned}$$

5.6. Рисунки 521 | $8a$, 521 | b^\pm

На кривой D_I имеются три точки, соответствующие рассматриваемым рисункам и составляющие (единственную среди одноклеточных четырёхрёберных

торических рисунков) кубическую орбиту Галуа. Соответствующие параметры являются корнями кубических уравнений

$$65\,536a^3 - 238\,080a^2 + 216\,425a + 14\,000$$

и

$$64b^3 - 272b^2 + 1\,427b - 344.$$

Приближённые значения указывают объединения этих параметров в пары:

$$(a = -0,060582\dots, b = 0,252495\dots)$$

соответствует вещественному рисунку $521 \mid 8a$, а

$$(a = 1,846697\dots \pm 0,340363\dots i, b = 1,998752\dots \pm 4,158426\dots i) -$$

паре комплексно сопряжённых рисунков $521 \mid 8b^\pm$. Неприводимый кубический многочлен, корнями которого являются j -инварианты всех трёх кривых, имеет вид

$$\begin{aligned} &56\,495\,049\,800\,000\,000\,000\,000j^3 - 315\,629\,560\,922\,285\,350\,000\,000\,000j^2 + \\ &+ 748\,295\,885\,321\,347\,996\,073\,297\,265\,625j - \\ &- 564\,055\,135\,320\,668\,135\,938\,721\,399\,828\,128, \end{aligned}$$

его старший коэффициент раскладывается на малые простые множители

$$56\,495\,049\,800\,000\,000\,000\,000 = 2^{15} 5^{14} 7^{10}.$$

5.7. Рисунки $611 \mid 8a$, $611 \mid 8b$

Эта квадратичная орбита Галуа соответствует параметрам

$$\left(a = -\frac{3}{64} \pm \frac{3}{32} \sqrt{2}, b = \frac{1}{4} \mp \frac{1}{4} \sqrt{2} \right).$$

j -инварианты кривых равны

$$j = \frac{1\,211\,356\,467\,233}{847\,425\,747} \pm \frac{5\,287\,472\,423\,321}{20\,338\,217\,928} \sqrt{2};$$

и удовлетворяют квадратному уравнению

$$\begin{aligned} 0 = &413\,643\,108\,486\,820\,613\,184j^2 - 1\,182\,567\,927\,315\,693\,367\,354\,752j + \\ &+ 789\,298\,737\,392\,595\,284\,292\,204\,382, \end{aligned}$$

старший коэффициент которого раскладывается на малые простые множители:

$$413\,643\,108\,486\,820\,613\,184 = 2^6 3^4 7^{20}.$$

Приложение 1. Таблица j -инвариантов

| Номер | Рисунок | j |
|-------|--------------|--|
| 1 | 332 8 | $-219\,488/729 = -2^5 19^3/3^6 = -301,080932\dots$ |
| 2 | 422 $8a$ | $1\,728 = 2^6 3^3$ |
| 3 | 422 $8b$ | $10\,976 = 2^5 7^3$ |
| 4 | 431 $8a$ | $207\,646/6\,561 = 2 \cdot 47^3/3^8 = 31,648529\dots$ |
| 5 | 431 $8b$ | $10\,647\,696\,795\,116\,000/1\,853\,320\,108\,689 =$ $= 2^5 5^3 13\,859^3/(3^8 7^{10}) = 5\,745,201137\dots$ |
| 6 | 521 $8a$ | вещественный корень I_{521}^* |
| 7 | 521 $8b^+$ | один из невещественных корней I_{521}^* |
| 8 | 521 $8b^-$ | один из невещественных корней I_{521}^* |
| 9 | 611 $8a$ | $4000/9 = 2^5 5^3/3^2 = 444,444444\dots$ |
| 10 | 611 $8b$ | один из корней I_{611}^{**} |
| 11 | 611 $8c$ | один из невещественных корней I_{611}^{**} |

$$\begin{aligned}
 *I_{521} := & 56\,495\,049\,800\,000\,000\,000\,000j^3 - 315\,629\,560\,922\,285\,350\,000\,000\,000j^2 + \\
 & + 748\,295\,885\,321\,347\,996\,073\,297\,265\,625j - \\
 & - 564\,055\,135\,320\,668\,135\,938\,721\,399\,828\,128,
 \end{aligned}$$

$$\begin{aligned}
 **I_{611} := & 413\,643\,108\,486\,820\,613\,184j^2 - 1\,182\,567\,927\,315\,693\,367\,354\,752j + \\
 & + 789\,298\,737\,392\,595\,284\,292\,204\,382.
 \end{aligned}$$

Приложение 2. Нормы иррациональных j -инвариантов

| Орбита Галуа | Норма j -инвариантов |
|--|--|
| $\{521 8a, 521 8b^+, 521 8b^-\}$ | $43^3 389^3 919^3 1\,693^3/(2^{10} 5^{14} 7^{10})$ |
| $\{611 8b, 611 8c\}$ | $11^6 9\,239^3/(2^5 3^4 7^{10})$ |

Приложение 3. Простые делители дискриминантов кривых

| Номера | Рисунки | «Плохие» простые |
|---------|-------------------------------|------------------|
| 1 | 332 8 | 3 |
| 2, 3 | 422 $8a$, 422 $8b$ | отсутствуют |
| 4 | 431 $8a$ | 3 |
| 5 | 431 $8b$ | 3, 7 |
| 6, 7, 8 | 521 $8a$, 521 $8b^{\pm}$ | 2, 5, 7 |
| 9 | 611 $8a$ | 3 |
| 10, 11 | 611 $8b$, 611 $8c$ | 2, 3, 7 |